

A N E X O

TABLA 43 Análisis de Varianza para los materiales originales de bovino de las cepas A6000, A6304, A7510, A8046, A8381 y A8480

Suero hiper- inmune	Valor F Calculado		Valor F Tabulado	
	Replicación	Tratamiento cepas	Replicación	Tratamiento cepas
A18	0.29	57,88**	4.10 ¹	3.33 ¹
A24	0.49	37,82**	7.56 ²	5.64 ²
A26	0.18	19,20*		
A27	1.06	155,60***		
A31	1.18	8,15*		
A32	0.44	14,73*		
A Sabana/ 74	0.99	39,40**		

1

Límite de probabilidad del 95%

2

Límite de probabilidad del 99%

*

Significancia a un nivel del 95%

**

Significancia a un nivel del 99%

Significancia a un nivel del 99.9%

TABLA 44 Análisis de regresión lineal múltiple en la subtipificación del virus A6000 de epitelio de campo, cultivo celular, ratón lactante y clonaje

Antisue- ros	R ¹	b(0) ²	b(1) ²	b(2) ² X ³	Y = b(0) + b(1)X + b(2) ²									
					1	2	3	4	5	6	7	8	9	10
A18	0.43	22.40	- 1.81	+ 0.05	21	19	17	16	14	13	12	10	9	8
A24	-	-	-	-	1100	1100	1100	1100	1100	1100	1100	1100	1100	1100
A26	0.28	79.63	+ 1.79	- 0.57	81	84	80	78	74	70	64	57	50	41
A27	0.13	12.22	+ 1.88	- 0.09	14	16	17	18	19	20	21	22	22	22
A31	0.24	8.52	+ 2.98	- 0.32	12	13	15	15	15	15	14	12	9	8
A32	0.24	46.02	- 1.48	+ 0.02	45	43	42	40	39	38	37	35	34	33
ASab /74	0.19	79.28	- 2.87	+ 0.16	77	74	72	70	69	68	67	67	66	67

- 1 Coeficiente de correlación múltiple
- 2 Coeficiente de determinación
- 3 Variable independiente
 - X = 1 Virus campo
 - X = 2 Virus BHK-5
 - X = 3 Virus BHK-10
 - X = 4 Virus ratón 3 (campo)
 - X = 5 Virus ratón 3 (BHK-10)
 - X = 6 Virus ratón 3 (BHK-5)
 - X = 7 Virus clón grande 1 (BHK-10)
 - X = 8 Virus clón grande 2 (BHK-10)
 - X = 9 Virus clón pequeño 1 (BHK-10)
 - X = 10 Virus clón grande 3 (BHK-10)

TABLA 45 Análisis de regresión lineal múltiple en la subtipificación del virus A6304 de epitelio de campo, cultivo celular, ratón lactante y clonaje

Anti-sue-ros	R ¹	b(0) ²	b(1) ²	b(2) ²	Y = b(0) + b(1)X + b(2)X ²									
					1	2	3	4	5	6	7	8	9	10
A18	0.38	25.20	+ 17.48	- 1.95	41	52	60	64	64	60	52	40	25	5
A24	0.19	51.73	+ 2.76	+ 0.02	55	57	60	63	66	69	72	75	78	81
A26	0.40	0.48	+ 7.20	- 0.60	7	13	17	20	22	22	22	20	17	13
A27	-	-	-	-	1100	1100	1100	1100	1100	1100	1100	1100	1100	1100
A31	0.02	27.32	+ 2.15	- 0.19	29	31	32	33	33	33	33	32	31	30
A32	0.68	2.82	+ 7.03	- 0.46	4	9	14	18	21	23	24	24	23	22
ASab /74	0.13	24.41	+ 2.67	- 0.03	27	29	32	35	37	39	42	44	46	48

1 Coeficiente de correlación múltiple
 2 Coeficiente de determinación
 3 Variable independiente
 X = 1 Virus campo
 X = 2 Virus BHK-5
 X = 3 Virus BHK-10
 X = 4 Virus ratón 3 (campo)
 X = 5 Virus ratón 3 (BHK-10)
 X = 6 Virus ratón 3 (BHK-5)
 X = 7 Virus clón grande 1 (BHK-10)
 X = 8 Virus clón grande 2 (BHK-10)
 X = 9 Virus clón pequeño 1 (BHK-10)
 X = 10 Virus clón pequeño 2 (BHK-10)

TABLA 46 Análisis de regresión lineal múltiple en la subtipificación del virus A Sabana/74 de epitelio de campo, cultivo celular, ratón lactante y clonaje

Anti- sue- ros	R ¹	Y = b(0) + b(1)X + b(2)X ²													
		b(0) ²	b(1) ²	b(2) ²	X ³	1	2	3	4	5	6	7	8	9	10
A18	0.23	5.67 +	3.50 -	0.33		9	11	13	14	15	15	14	13	10	8
A24	0.47	88.55 -	5.36 +	0.55		84	80	77	76	76	76	78	81	85	90
A26	0.25	62.08 -	13.70 +	1.16		50	40	31	26	22	21	23	26	32	41
A27	0.14	12.10 -	0.83 +	0.13		11	11	11	11	11	12	13	14	15	17
A31	0.01	17.20 -	0.44 +	0.06		17	17	16	16	17	17	17	18	18	19
A32	0.67	45.38 -	13.18 +	1.21		33	24	17	12	10	10	12	17	25	35
ASab /74	-	-	-	-		1000	1000	1000	1000	1000	1000	1000	1000	1000	1000

1 Coeficiente de correlación múltiple

2 Coeficiente de determinación

3 Variable independiente

X = 1 Virus campo

X = 2 Virus BHK-5

X = 3 Virus BHK-10

X = 4 Virus ratón 3 (campo)

X = 5 Virus ratón 3 (BHK-10)

X = 6 Virus ratón 3 (BHK-5)

X = 7 Virus clón grande 1 (BHK-10)

X = 8 Virus clón grande 2 (BHK-10)

X = 9 Virus clón pequeño 1 (BHK-10)

X = 10 Virus clón pequeño 2 (BHK-10)

TABLA 47 Análisis de regresión lineal múltiple en la subtipificación del virus A8046 de epitelio de campo, cultivo celular, ratón lactante y clonaje

Anti-sue-ros	R ¹	Y = b(0) + b(1)X + b(2)X ²													
		b(0) ²	b(1) ²	b(2) ²	X ³	1	2	3	4	5	6	7	8	9	10
A18	0.31	75.17	+ 1.39	- 0.52		76	76	75	72	69	65	59	56	46	37
A24	0.45	60.10	- 0.63	+ 0.38		60	60	62	64	66	70	74	73	83	92
A26	0.29	4.30	+ 5.87	- 0.08		10	16	21	26	32	37	41	46	51	55
A27	0.15	109.28	- 4.10	+ 0.14		105	102	98	95	92	90	87	85	84	83
A31	0.23	21.55	+ 6.23	- 0.41		27	32	37	40	43	45	46	46	45	44
A32	0.40	2.12	+ 3.05	+ 0.13		5	9	12	16	21	25	30	35	40	46
ASab /74	0.14	46.48	+ 9.32	- 0.81		55	62	67	71	73	73	72	69	65	59

1 Coeficiente de correlación múltiple

2 Coeficiente de determinación

3 Variable independiente

X = 1 Virus campo
X = 2 Virus BHK-5
X = 3 Virus BHK-10
X = 4 Virus ratón 3 (campo)
X = 5 Virus ratón 3 (BHK-10)
X = 6 Virus ratón 3 (BHK-5)
X = 7 Virus clón grande 1 (BHK-10)
X = 8 Virus clón grande 3 (BHK-10)
X = 9 Virus clón pequeño 1 (BHK-10)
X = 10 Virus clón pequeño 2 (BHK-10)

TABLA 48 Análisis de regresión lineal múltiple en la subtipificación del virus A8381 de epitelio de campo, cultivo celular, ratón lactante y clonaje

Anti-sue-POS	R ¹	Y = b(0) + b(1)X + b(2)X ²												
		b(0) ²	b(1) ²	b(2) ²	X ³	1	2	3	4	5	6	7	8	9
A18	0.36	34.35	+ 3.81	- 0.08		38	42	24	48	55	54	57	50	62
A24	0.16	97.00	+ 1.32	- 0.15		98	99	100	100	100	100	99	98	97
A26	0.44	15.95	+ 2.80	- 0.36		18	20	21	21	21	20	16	15	12
A27	0.39	100.14	- 13.42	+ 1.09		88	78	70	64	61	57	60	63	68
A31	0.46	25.86	+ 0.90	- 0.22		27	27	27	26	25	23	21	19	16
A32	0.68	23.98	- 1.13	- 0.04		23	22	20	19	17	16	14	12	11
ASab /74	0.19	98.19	- 0.01	- 0.06		98	98	98	97	97	96	95	94	93

- 1 Coeficiente de correlación múltiple
- 2 Coeficiente de determinación
- 3 Variables independientes
 - X = 1 Virus campo
 - X = 2 Virus BHK-5
 - X = 3 Virus BHK-10
 - X = 4 Virus ratón 3 (campo)
 - X = 5 Virus ratón 3 (BHK-10)
 - X = 6 Virus ratón 3 (BHK-5)
 - X = 7 Virus clón grande 1 (BHK-10)
 - X = 8 Virus clón grande 2 (BHK-10)
 - X = 9 Virus clón grande 3 (BHK-10)

TABLA 49 Análisis de regresión lineal múltiple en la subtipificación del virus A8480 de epitelio de campo, cultivo celular, ratón lactante y clonaje

Anti-sue-ros	R ¹	Y = b(0) + b(1)X + b(2)X ²												
		b(0) ²	b(1) ²	b(2) ²	X ²	1	2	3	4	5	6	7	8	9
A18	0.69	105.90	- 29.63	+ 2.87	76	58	43	33	30	31	39	52	72	97
A24	0.03	78.18	+ 5.94	- 0.56	84	88	91	93	94	94	97	90	85	82
A26	0.31	66.15	- 13.95	+ 1.35	54	44	36	32	30	31	33	41	50	62
A27	0.52	68.45	- 12.13	+ 0.80	57	45	40	33	28	24	23	23	24	27
A31	0.79	48.88	- 2.67	- 0.13	46	43	40	36	32	28	24	19	14	9
A32	0.22	67.38	+ 0.52	+ 0.19	68	69	71	73	75	77	80	84	87	92
ASab /79	0.79	58.10	+ 17.15	- 2.17	73	84	90	92	90	83	72	56	37	13

- 1 Coeficiente de correlación múltiple
- 2 Coeficiente de determinación
- 3 Variables independientes
 - X = 1 Virus campo
 - X = 2 Virus BHK-5
 - X = 3 Virus BHK-10
 - X = 4 Virus ratón 3 (campo)
 - X = 5 Virus ratón 3 (BHK-10)
 - X = 6 Virus ratón 3 (BHK-5)
 - X = 7 Virus clón grande 1 (BHK-5)
 - X = 8 Virus clón grande 3 (BHK-5)
 - X = 9 Virus clón grande 1 (BHK-10)
 - X = 10 Virus clón pequeño 1 (BHK-10)

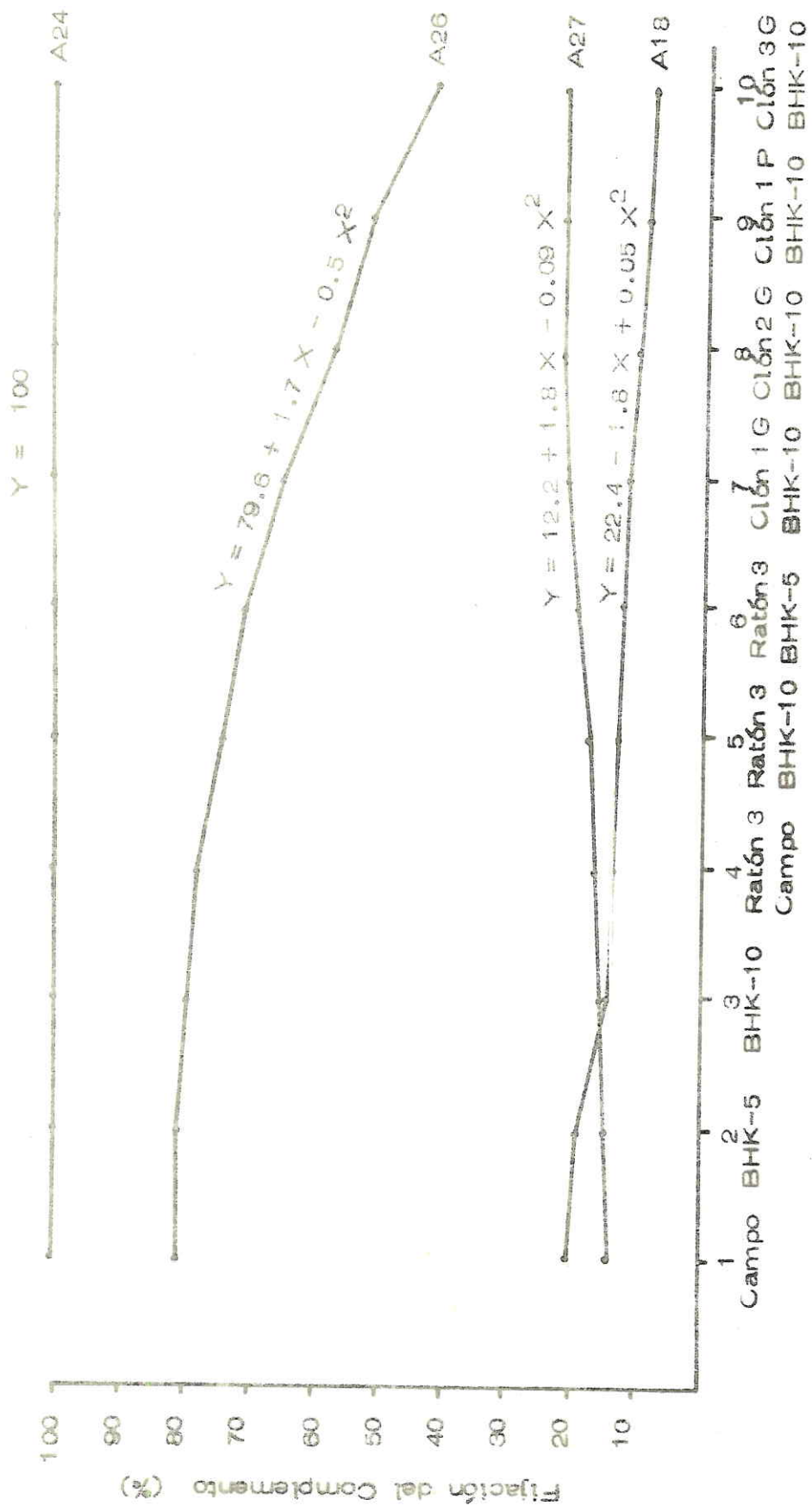


FIGURA 23 Tendencia del virus A24 Boyacá/71 (6000) en la prueba de subtipificación frente a los sueros hiperinmunes de los subtipos A27, A18, A24 y A26

Variables Independientes

- 1 Campo BHK-5
- 2 BHK-10
- 3 Ratón 3
- 4 Campo BHK-10
- 5 Ratón 3
- 6 Ratón 3
- 7 Clón 1G
- 8 Clón 2G
- 9 Clón 1P
- 10 Clón 3G

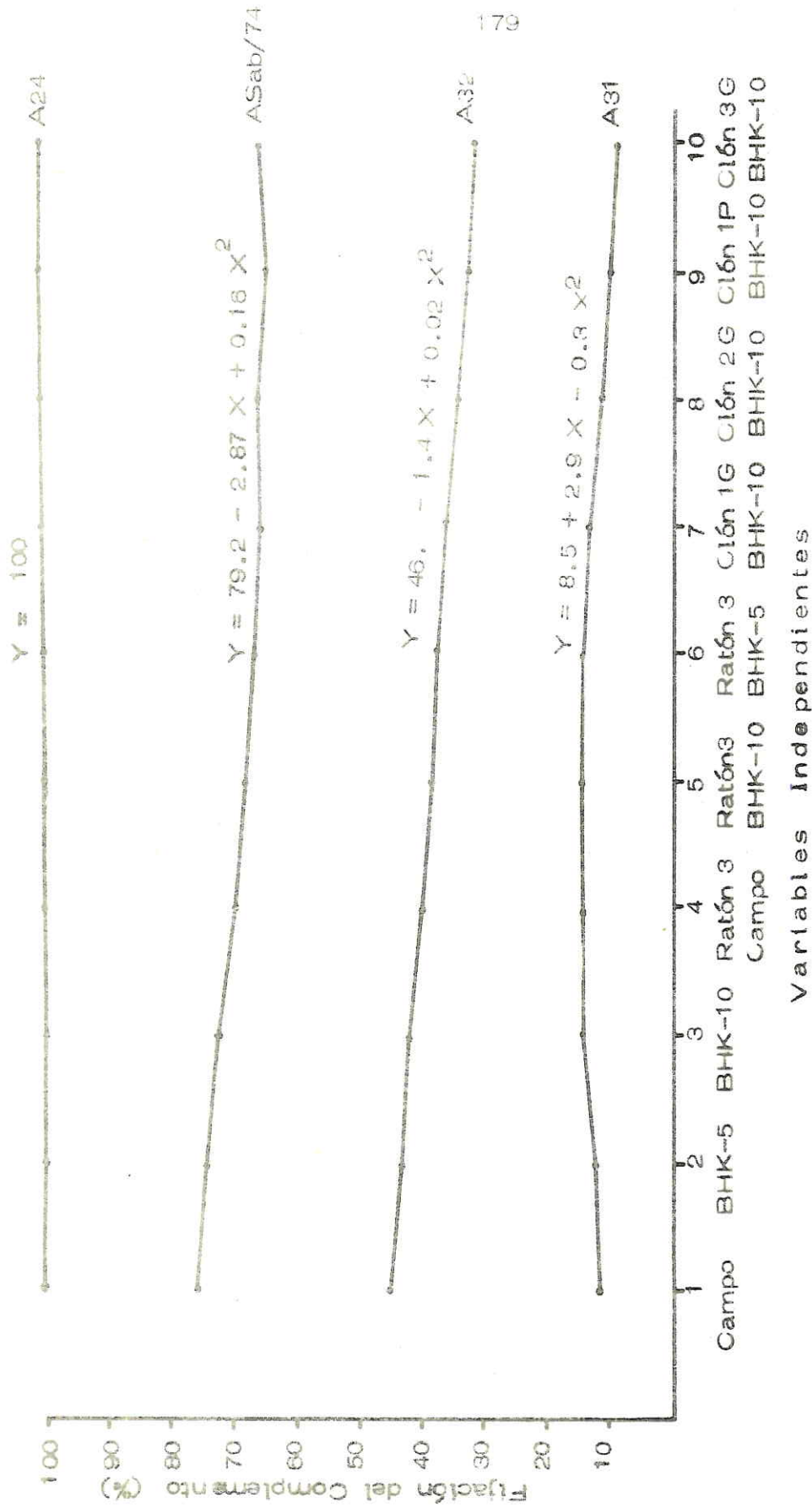


FIGURA 24 Tendencia del virus A24 Boyacá/71 (6000) en la prueba de subtipificación frente a los sueros hiperinmunes de los subtipos A24, A31, A32 y A Sabana/74